

金屬工藝學講義

(機械加工部分)

金屬工藝教研組編

1961.4

沈陽農學院

目 录

第一章 金屬切削原理.....	1
§1. 基本定义 §2. 切削形成过程概說 §3. 刀具几何形狀的合理選擇 §4. 切削用 量的选择 附表	
第二章 金屬切削机床.....	27
§1. 机床的驅動 §2. 机床的傳動 §3. 机床的变速機構 §4. 金屬切削机床举例 (車床)	
第三章 毛坯的种类和初加工.....	41
§1. 毛坯的种类 §2. 毛坯的矯直 §3. 毛坯的切断 §4. 鑽毛坯中心孔	
第四章 車床加工.....	45
§1. 車刀的种类和切削形式 §2. 車床的种类 §3. 車床作業 §4. 其他車床作業 §5. 万能机床的自动化	
第五章 鋋床加工.....	62
§1. 鋋刀的种类和特點 §2. 鋋床	
第六章 鑽床和鏜床加工.....	67
§1. 麻花鑽和鑽削過程 §2. 擴孔鑽和擴削過程 §3. 斸刀和斸削過程 §4. 鑽削的 切削力 §5. 鑽床和鏜床 §6. 鑽床附件 §7. 鑽鏜床作業	
第七章 銑床加工.....	78
§1. 銑刀的种类和銑削過程 §2. 銑削用量 §3. 銑刀的角度 §4. 銑削力 §5. 銑床 §6. 銑床作業	
第八章 拉床加工.....	92
§1. 拉刀的种类和拉削過程 §2. 拉削方案	
第九章 磨床加工.....	95
§1. 磨具 §2. 磨削過程 §3. 磨床	
第十章 螺紋加工.....	104
§1. 外螺紋加工 §2. 切削內螺紋	
第十一章 齒輪加工.....	108
§1. 用仿形法加工齒輪 §2. 用滾齒法加工齒輪 §3. 用插齒法加工齒輪 §4. 用鉋 齒法加工直齒錐形齒輪 §5. 用剃齒法精加工齒輪 §6. 用砂輪磨削齒輪	
第十二章 光整加工.....	115
§1. 精細鏗孔 §2. 研磨 §3. 珩磨 §4. 超精加工 §5. 抛光	
第十三章 特殊加工法.....	121
§1. 电加工 §2. 超声波加工	
第十四章 机械制造工藝的基本概念.....	124
§1. 生產過程、工藝過程及其組成部分 §2. 机器制造的主要方式 §3. 集中工序与	

分散工序

第十五章 机械加工的精度和光潔度.....	127
§1. 机械加工精度的概念 §2. 影响加工精度的主要因素 §3. 加工时的尺寸散布	
§4. 机械加工的平均經濟精度 §5. 表面光潔度的概念 §6. 影响表面光潔的主要因素 §7. 表面光潔度的分級	
第十六章 基准的概念.....	137
§1. 設計基准 §2. 工藝基准 §3. 六點定律 §4. 基准面的主要選擇原則	
第十七章 机床夾具.....	139
§1. 夾具的定位元件 §2. 夾具的夾緊元件 (夾緊裝置) §3. 刀具的導向元件	
§4. 夾具体 §5. 分度裝置 §6. 鑽床夾具舉例 §7. 多軸鑽孔頭 §8. 鎔床夾具舉例	
第十八章 典型另件的加工工藝 (活塞的加工)	145
§1. 概述 §2. 活塞的機械加工 §3. 主要工序的完成方法 §4. 活塞的檢驗	

第一章 金属切削原理

§1. 基本定义

一、切削时的运动情况

切削加工时，工件和刀具必須有相对运动，在此相对运动的过程中，刀具从工件表面切下金属來，变为切屑。这种运动可以是直線的，旋转的或綜合的，随加工方法不同而不同，但就运动的性質來說，可以分为二种：主运动和進刀运动。

1. 主运动——是切下切屑的运动，也叫切削运动，大小用切削速度 V 表示，它在切削过程中消耗机床主要动力，如車削时的旋转运动，鉋削时的往复运动。

2. 進刀运动——是使刀具与加工物產生相对位移的运动，它保証切削过程連續進行。進刀运动有縱向的、横向的、垂直的及旋转的可以由刀具或工件的移动來完成，大小用進刀量 S 表示。車削时刀架的移动为進刀运动。

二、加工工件表面

当車刀从被加工工件上切下切屑时，加工工件上有下列几种表面（圖1）：

1. 待加工面。
2. 已加工面。
3. 切削表面。

三、刀头的要素

1. 前面——切屑順着它流出的表面。（圖2中5）。
2. 后面——对着切削表面的表面。（圖2中6）。
3. 付后面——对着已加工面的表面。（圖2中7）。
4. 主刀刃——前面与后面的交綫。（圖2中1—2）。
5. 付刀刃——前面与付后面的交綫。（圖2中1—3）。
6. 刀尖——主刀刃与付刀刃的交點，一般是一个小圓弧。（圖2中1）。
7. 刀片（圖2中8）。
8. 刀身（圖2中4）。

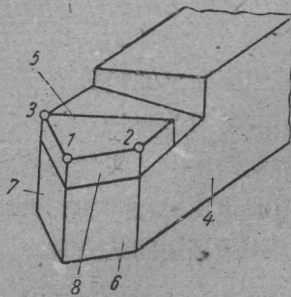


圖2 刀头的要素

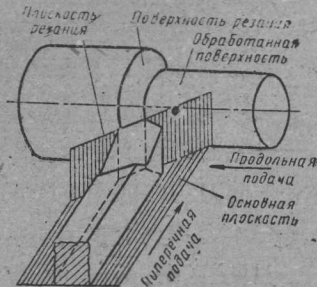


圖1 切削运动簡圖

四、車刀的几何角度

車刀的角度分为几何角度和在切削進行中所形成的工作角度，下面只討論車刀的几何角

度。为了确定車刀的各个角度，用下列坐标平面作基准，（圖1）：

1. 基面——平行縱進刀和橫進刀方向的平面，即車刀的底平面，与切削平面主运动方向垂直。
2. 切削平面——与切削表面相切并通过主刀刃的平面。在这里为了使問題簡單起見假定主刀刃与底面是平行的。实际上主刀刃与底面之間的傾斜角对車刀說來也是很小的。
3. 主截面——与主刀刃在底平面上投影線相垂直的平面。
4. 付截面——与付刀刃在底平面上投影線相垂直的平面。

在主截面上量取的角度是車刀的主要角度有：主后角 α ，前角 γ ，楔角 β 和切削角 δ （圖3）。

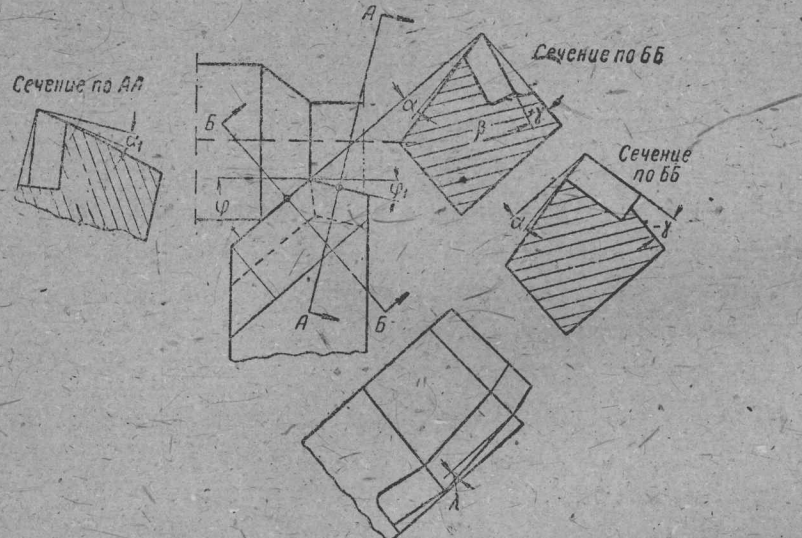


圖3 車刀的角度

1. 前角 γ ——前面与基面之間的夾角。

前角：前角有正負之分，刀刃在前面的最高點时为正，刀刃在前面的最低點时为负。

2. 后角 α ——后面与切削平面之間的夾角。

3. 楔角 β ——車刀前面与后面的夾角。

$$\beta = 90^\circ - \alpha - \gamma$$

4. 切削角 δ ——前面与切削平面之間的夾角

$$\delta = \alpha + \beta$$

在付截面上只注意一个角度：付后角 α_1 。

付后角 α_1 ——付后面与通过付刀刃并垂直于底面的平面之間的夾角。

在刀具頂視圖上量取的角度有：主偏角 ϕ 付偏角 ϕ_1 及刀尖角 Σ 。

1. 主偏角 ϕ ——主刀刃在底平面上的投影線与進刀方向之間的夾角。

2. 付偏角 ϕ_1 ——付刀刃在底平面上的投影線与進刀方向之間的夾角。

3. 刀尖角 Σ ——主刀刃与付刀刃在底平面上的投影線之間的夾角。

$$\Sigma = 180^\circ - \phi - \phi_1$$

在切削平面上量取的角度有：主刀刃斜角 λ 。

主刀刃斜角 λ ——主刀刃与基面之間的夾角。

主刀刃斜角有正負之分刀尖在主刀刃的最低點时为正，刀尖在主刀刃的最高點时为负，

主刀刃和底面平行时主刀刃斜角 λ 等于零(圖4)。

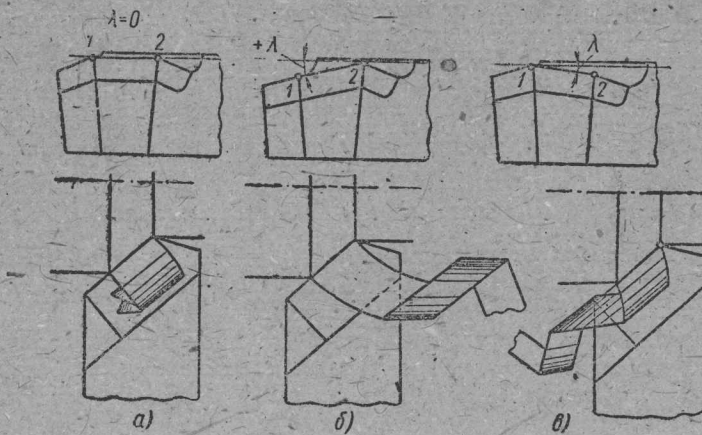


圖4 主刀刃斜角

五、切削用量

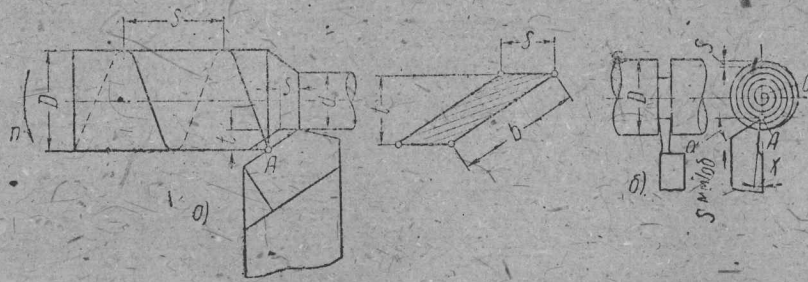


圖5 切削用量

1. 切削深度 t ——待加工面与已加工面之間的垂直距离，以公厘計算。当車削时，原工件直徑为 D 公厘，經一次切削后的直徑为 d 公厘則切削深度为

$$t = \frac{D - d}{2} \text{ (公厘)}$$

2. 進刀量 S ——工件或刀具在每轉一轉或往复一次时，二者在進刀方向的相对位移量。

3. 切屑宽度 b ——切下切屑的宽度，由主刀刃与工件接触的長度决定。切屑宽度 b 与切削深度 t 之間的关系：

$$b = \frac{t}{\sin \varphi}$$

4. 切屑厚度 a ——切下切屑的厚度，是工件或刀具在每轉一轉或往复一次时主刀刃相鄰二位置間的垂直距离。

切屑厚度 a 与進刀量 S 之間的关系 $a = S \cdot \sin \varphi$

5. 切削速度 V ——主运动的速度，以公尺/分計算。

6. 轉速 n ——工件或刀具的轉动速度，以轉/分計算。

$$n = \frac{1000V}{\pi d}$$

d ——工件或刀具直徑，以公厘計算。

§2. 切屑形成過程概說

一、切屑形成過程切削時金屬變為切屑的過程大致可以分為四個階段：

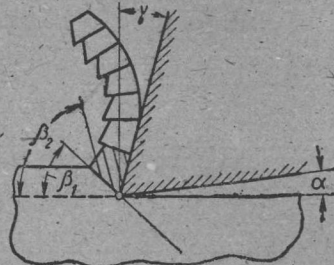


圖 6 滑移面的形成

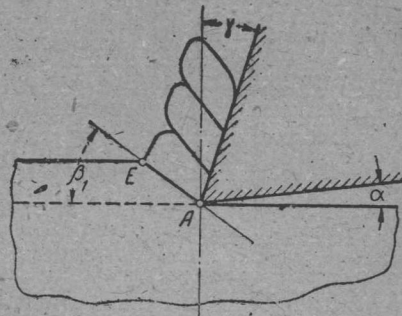


圖 7 挤裂面的形成

1. 挤壓階段：當刀具開始接觸工件的最初一段時期，工件在接觸處受到壓力，局部材料發生彈性形變。

2. 滑移階段：當刀具繼續前進時，加工材料內部應力不斷增加；超出彈性形變範圍後金屬晶格彼此間沿着一定的結晶面和一定方向作相對的運動稱為滑移。這已屬於塑性形變的範圍。滑移後產生滑移線但金屬並未分裂（圖 6）。

3. 挤裂階段：當刀具再繼續前進時加工材料內部的應力不斷增加，當應力達到斷裂點時，金屬即在AE面上發生裂痕，稱為擠裂線。（圖 7）

4. 切離階段：當刀具再前進時這塊金屬與工件表面分離，漸漸脫離前面滑出而成為切屑；變形至此終止，這一階段稱為切離。此時刀具接觸另外一片新的金屬，開始挤压。

按現代的切削過程的觀點，在高速切削區域里能出現如下的狀態。

假定被加工金屬的微粒也就是不變形的部分，用小圓圈來表示（圖 8）。可見，A—不變形的金屬區域。對於擠裂下的金屬微粒，在變形力的作用下，開始變形並成為橢圓形。因而B—使加工金屬微粒塑性變形區域。硬化後，在破壞也就是塑變過程結束的瞬時，這些金屬的微粒扭轉了一個滑移角 β_2 。 a_{II} —金屬瞬時變形層的厚度。 a_{II} 值在0.1—0.3MM範圍內變動。

滑移角是變動的，因為處於切削工具前面的變形金屬微粒，由於摩擦和分子間的互相作用，使微粒位置有從 β_2 到 $\beta_2 + 90^\circ + \gamma$ 的可能性。因此金屬變形的微粒作扇形分佈（B區域）。

圖 8 中車刀的後隙面的摩損量為 h_3 。由於高速度的前傾面與切屑間和車刀的後隙面與毛坯間的相對位移，在接觸的區域里集中了大量的熱，在靠近車刀的薄層 a_{III} 里溫度 $t = 800 \div 1200^\circ$ 。在這樣溫度的情況下，金屬將處於塑性狀態，所以，對滑動摩擦造成了有利的條件。在這種情況下，切屑下層的阻滯最小，可以降低切削工具的磨損。最近車刀層的厚度 $a_{\text{III}} = 10 \div 30 \text{Mk}$ 。

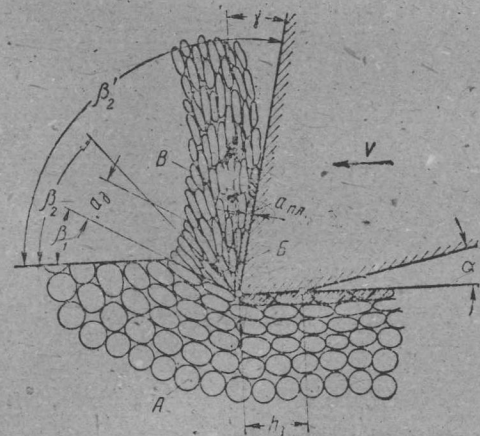


圖 8 高速切削過程示意圖

必須注意的是：切屑的变形是連續的，以上四个階段之間并无間歇或休息。

以上所說的变形过程是最典型的。实际上有时四个阶段很明显，有时其中某一阶段极不明显；例如：切削灰鑄鐵时，②③两个阶段都不明显，几乎不存在，当刀具切入工件極少时，就有一块金屬突然崩去，完成切离阶段。

二、切屑的形式

由于加工材料的性質，刀具的几何形状和切削用量的不同，所得出的切屑外形也不相同，通常将切屑分为三类（圖9）。

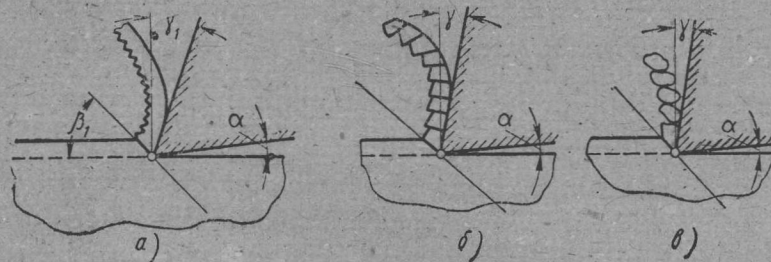


圖9 切屑的形式

1. 碎断式切屑——切屑如分离体的細顆粒，大小形状不均匀。加工表面显得很粗糙，这是在切削硬脆的金属时得到的。如用較小的前角和低的切削速度加工靚性金属时也可能得到碎断式切屑。

2. 阶段式切屑——切屑延續成長的一段，靠刀具的一面很光滑，反面有明显的裂痕和骨節。这是在用較低的切削速度，大的進刀量，切削中硬鋼材时得到的。

3. 流断式切屑——切屑可以連綿很長，靠刀具的一面很光潔，反面有毛茸，看不出裂紋和骨節，这是在用高的切削速度，小的進刀量切削較軟的鋼材时得到的。

比較三种切屑可以知道碎断式切屑最不好切屑的形成是瞬时的、不連續的、切削力大小很不稳定，因此有震动，而且表面光潔度比較低。

阶段式切屑比碎断式好些，但仍然有震动。流断式切屑形成过程很平稳，沒有震动，因此表面光潔，而且表面比較高。但在高速切削时容易使工人受伤。

三、積屑瘤

在金属切削过程中，車刀的前面，靠近切削刃处常常会产生積屑瘤。它是由加工材料形成，但組織和加工材料有区别，硬度能达到切削金属的程度（圖10）。

積屑瘤有保護刀具的作用，当前角小于 30° 时它可以增大前角，防止車刀受热而延長刀具的壽命。積屑瘤对工件表面有不良影响，使加工表面粗糙，因此对精加工不利，对粗加工有利。積屑瘤的出現，主要是在加工靚性金属时，實驗証明積屑瘤不在很低的切削速度（每分鐘1—2公尺）或高速（高于每分鐘70—80公尺）时產生，通常在切削速度20—30公尺/分时產生得最多。增大前角研磨刀具前面及应用冷却潤滑液都能使積屑瘤减小或消滅。

四、加工硬化

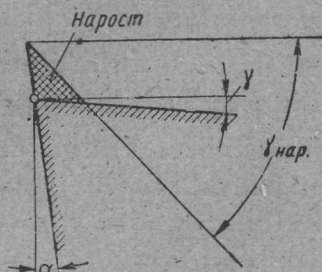


圖10 積屑瘤

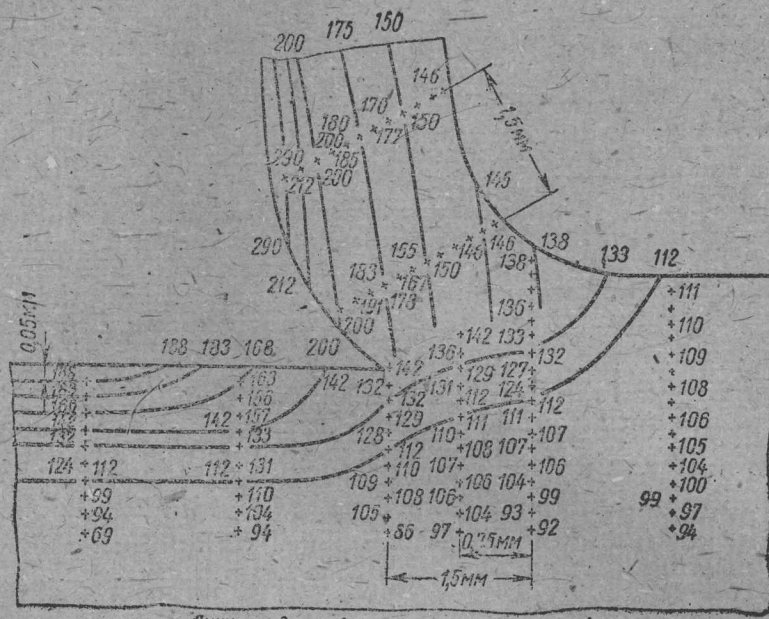


圖11 切削区域工件材料硬度分佈圖

金屬切削時不僅切屑發生變形，就是在工件的擠裂線下；切削表面及已加工面上也是有變形的，由於材料的壓縮變形金屬表層發生硬化的現象，這表現在加工後表面的硬度大于原材料的硬度（1.5—2倍）。受加工硬化影響的區域見圖11。在精加工時如切深和進刀量過小時，刀刃將與硬化層劇烈摩擦，使刀具很快磨損，並影響加工表面的光潔度。切削速度和切刀的尖銳程度都影響硬化層深度（圖12）。

五、切屑的收縮

在刀具前面的作用下被切削的金屬塑性變形，並且在長度和厚度上改變尺寸；切下的切屑的長度變短，厚度變厚（寬度變化不大），這種現象稱為切屑收縮。

為了表示不同條件下切屑收縮的大小，採用收縮系數 K 來表示， K 的定義如下：

$$\text{橫向收縮系數} K_a = \frac{\text{切屑厚度}}{\text{切削層原始厚度}}; \quad \text{縱向收縮系數} K_e = \frac{\text{切削層原始長度}}{\text{切屑長度}}$$

K_a 與 K_e 大致相等

收縮系數的大小往往體現被加工材料的塑性高度和切削過程的難易程度。影響收縮系數的因素很多主要是切削速度。

圖13 表示收縮系數和速度的關係，曲線包括三個部份：

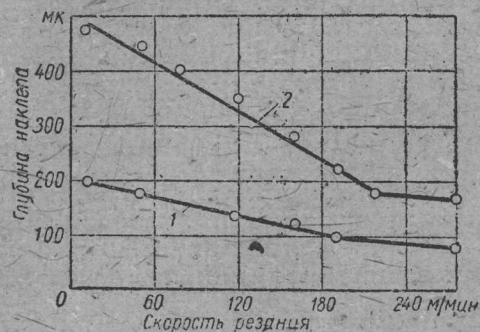


圖12 切削速度對加工硬化層深度的影響

1. 尖銳的切刀 2. 磨鈍的切刀

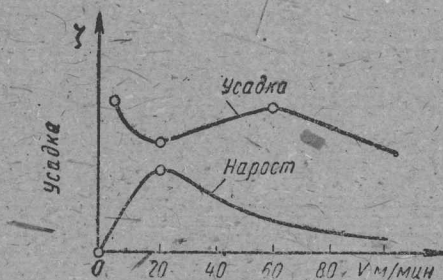


圖13 收縮系数和速度的关系

I. ——随着切速提高，積屑瘤增大，前角因而加大，使塑性变形程度减小，因而收缩系数减小。

II. ——切速繼續提高，積屑瘤减少，前角改变，塑性变形程度及摩擦力增大因而收缩系数增加。

III. ——積屑瘤几乎消滅，但切速較高切屑來不及变形，收缩系数又变小。

增加前角和减小切屑厚度，採用潤滑冷却剂和提高切速到60公尺/分以上都能使收缩系数减小。

六、切削力和切削功率

完成切削过程所需的力由下列二力組成（圖14）。

- ① 使被切下的金属發生彈性及塑性变形的力。
- ② 用于克服切屑与車刀以及車刀与工件的摩擦力的力。

这个力的大小依加工材料的种类。如下切屑的大小，車刀的角度和其他因素而定。因为在空間的切削力可以分成各种不同方向的分力，所以从机床和刀具的使用和設計方面着眼，常把切削力分为三个分力 P_x P_y 和 P_z （圖15）。

切向分力 P_z ——和切削运动 方向一致的力是最大和最重要的分力 它消耗机床大部分的动力根据它進行动力和强度計算或校核已有机床的动力是否足够。軸向分力 P_x ——和縱進方向一致的力，按照 P_x 之大小，可進行机床進刀機構連接部分强度的計算。

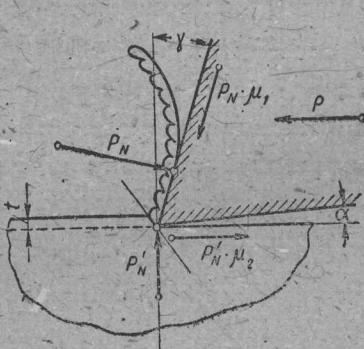


圖14 切削力的組成

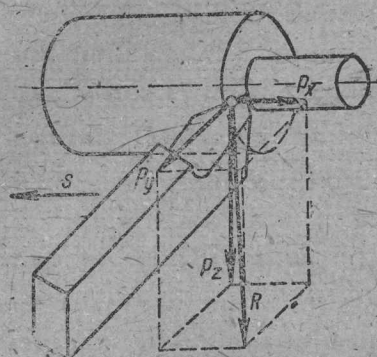


圖15 縱向車削时的切削力

徑向分力 P_y ——和橫走刀方向一致的力。 P_y 过大会引起工件的弯曲，而車成凸肚形，所以加工細長工件时，为減小 P_y 的影响，必須使車刀的導角 φ 等于 90° 。

在一般情况下，三力的比例为：

$$P_z : P_y : P_x = 1 : 0.4 : 0.25$$

$$\begin{aligned} \text{則切削力 } P &= \sqrt{P_x^2 + P_y^2 + P_z^2} \\ &= \sqrt{(0.25P_z)^2 + (0.4P_z)^2 + P_z^2} \\ &\approx \sqrt{1.22P_z^2} = 1.1P_z \approx P_z \end{aligned}$$

車削鋼材和鑄鐵时切削力可按下列經驗公式計算：

$$P_z = A \cdot K$$

A与S及 t 有关，K随被加工材料而改变，可查附表。

已知切削力 P_z 大小时可计算切削功率：

$$N = \frac{P_z \cdot V}{60 \times 10^2} \text{ (千瓦)}$$

P_z —切向分力 (公斤)

V—切削速度 (公尺/分)

P_x 消耗功率仅为 P_z 的 1—2%，所以略去不计。

P_y 消耗功率等于零。

七、切削热及刀具上温度的分布

切削热是切削过程中主要现象之一，它影响刀具的切削性能，限制切削速度的提高，同时影响零件的加工精度，因之研究切削热是进一步研究刀具磨损，刀具寿命与高速切削的基础。

① 切削热的来源——切削过程中有 99.9% 的切削功能都转化为与之相当的热量。热的产生是由下述变形和摩擦的结果：

Q_1 —材料的弹性变形功转化的热。

Q_2 —材料的塑性变形功 (图 16 上 1) 转化的热。

Q_3 —刀具前面和切下切屑间摩擦所消耗的功 (图 16 上 2) 和刀具后面和切削表面间摩擦所消耗的功 (图 16 上 3) 转化的热。产生的总热量可用下式表示

$$Q = Q_1 + Q_2 + Q_3$$

加工韧性金属时 (如钢) 绝大部分的热量，是由于材料的塑性变形功转化而来，可占总热量的 80%；而加工脆性金属 (如铸铁) 时，绝大部分的热量是由于外部机械摩擦的结果。

② 热的传导

切削时产生的热量由切屑、刀具、工件和空气中传出。其中：

Q_c —切屑所传出的热量，占总热量的 75% 左右，所以切屑的温度很高，特别在高速切削的时候。

Q_u —刀具所传出的热量占总热量的 20%

Q_g —工件所传出的热量占总热量的 4%

Q_o —空气所传出的热量占总热量的 1%

③ 刀具上温度的分布

刀具因温度的升高，它的硬度和耐磨性就降低，也就是说它的磨损也要愈快。因此研究刀具上温度分布的情况有很大的实用意义。根据 A·M·达尼耶良教授的实验，刀尖附近的温度最高；前面比后面的温度高；在前面上的温度是离切削刃不远的地方最高；而在后面是接近切削刃的地方最高。刀具上温度分布用热电偶法测得 (图 16)。

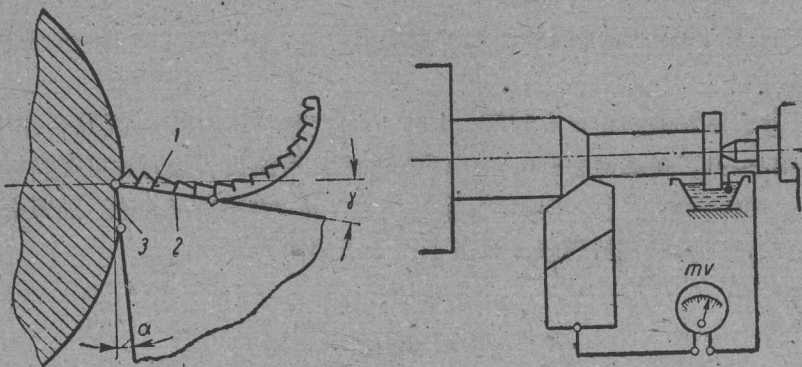


圖16 热电偶法示意圖

八、刀具材料

对刀具材料的要求：

- ① 硬度高，即比加工工件的硬度要高。
- ② 热硬性高，即在高温工作条件下仍能保証刀具材料的切削性能。
- ③ 足够的强度与韧性，以承受切削力和冲击。
- ④ 高度的耐磨性。

刀具材料的种类：

常用的刀具材料有①碳素工具鋼②合金鋼③高速鋼④硬質合金⑤陶瓷

① 碳素工具鋼

含碳量由0.75—1.5%，經過淬火后，碳素工具鋼的硬度可达

$$HRc = 62 \sim 65$$

它的缺點是抗热的能力很差，当加热到250—300°C时它就丧失了硬度，因此不能再切削。近來僅用它制造切削速度不大的手动工具（如手絲錐板牙）。

常用的牌号：在苏联是Y10_A和Y12_A相当我国的T10_AT12_A（A表示优质）。

② 合金工具鋼

和碳素工具鋼的区别，是在化学成分方面加有合金元素：鉻鎢及其他元素，或增加錫和錳的含量。

合金工具鋼含碳量0.9—1.1%，經過淬火后它的硬度可达到HRc=62~65，耐热性比碳素工具鋼好，可达350—400°C。

合金鋼9Cr Si（鉻、矽）特別是Cr W Mn鉻鎢錳有很宝贵的性质，它在热处理时变形很小，因此可以用它制造形状比較細長和复杂的刀具如拉刀、鑽头、鉸刀等。

③ 高速鋼

合金鋼中鎢鉻含量数多的鋼称为高速鋼，含鎢9—18%，含鉻3.6—4.6%，含錫0.2—2.6%和含鉻0.3—0.6%。

高速度鋼的特點在于具有較高的耐磨性和热硬性，也就是說能在500—600°C时保持硬度和切削性能。淬火及回火处理后硬度可达HRc=62~65。

用高速鋼制成的刀具切削时的速度平均可达碳鋼刀具的2—3倍热处理变形也小，为目前工厂中常用刀具材料之一。

目前常用的高速鋼牌号是：苏联P18 (9n262) 及P9我國W18Cr4V及W9Cr4V，含鈷量分别为18%及9%。P9W9Cr4V的热处理过程要求严格，但因含鈷量较少故应用较广。

(4) 硬質合金

是将鈷、鈦、鉻和碳的粉末在1450—1500°C溫度时燒結而成。硬質合金具有很高的硬度，达HRc=87~91。耐热性在850—1000°C，因此用硬質合金刀片可提高切削速度，相当于高速鋼的4—10倍或更多（高速切削）个别情况下可达3000公尺/分。硬質合金的特徵是性脆，抗弯强度低，热傳導和热膨胀系数很小，因此容易开裂。

硬質合金分为二类

鈷鉻类 (BK) ——为碳化鈷 (WC) 和碳化鈷在鉻 (Co) 中的固溶体所組成，用以切鑄鐵，因为它的韌性和抗弯强度都比下面的鈦鉻类好。常用牌号为BK₃，BK₆，BK₈，前者用于精加工，后者用于粗加工。

字母B表示WC K表示Co，右下角数字为其含量的百分数。例如BK₈，表示該合金中含Co如8%其余92%为WC

鈦鉻类 (TK) ——为碳化鈦TiC，碳化鈷WC和二者在鉻中的固溶体所組成，用以切鋼料。常用牌号为T₅K₁₀，T₁₅K₆，T₃₀K₄前者用于粗加工，后者用于精加工。

字母T指TiC，K指Co，右下角数字表示其含量百分数，其余为WC之含量。例如T₁₅K₆表示含15%的TiC6%的Co其余79%为WC。

硬質合金中增加鈦的作用是提高硬質合金的耐热性和耐磨性，并略增加它的硬度，鉻在硬質合金中的作用是将鈷和鈦的碳化物粘結起來，同时也使硬質合金有一定程度的强度和韌性。

(5) 陶瓷：

自1953年开始，苏联陶瓷專家和切削刀具專家共同研究發明了用燒結鋼玉來做刀具切削部分材料。陶瓷刀具主要部分为Al₂O₃，又叫燒結鋼玉，硬度可达Rc=86—92，能耐1200°C高温，因之切削速度比硬質合金还高。这种材料价值低廉，僅为硬質合金的十五分之一，但性脆，抗弯强度低，过去只能用于精車工作，但現在已能担任粗車工作已在全國各地开始推广使用。

九、潤滑——冷却剂的使用

在实际生產中，为了改善切削条件提高切削效率，常常使用潤滑——冷却剂，它可以提高表面光潔度，减少刀具摩損，提高切削速度，因为潤滑冷却剂本身能吸收大量热量，減低刀具的温度，并且可以減少切屑和刀具以及工件和刀具間的摩擦加工鑄鐵时一般不用潤滑冷却剂，因为效果很小。

潤滑——冷却剂一般可以分为二大类①主要起冷却作用的。②主要起潤滑作用的。

属于第一类的有：水、水溶剂、乳化油、这种液体比热大流动性大（傳热較好）可以吸收大量的热量。使用这种潤滑——冷却剂的主要目的是冷却刀具，提高切削速度(25—40%)一般用于粗加工，用水作潤滑冷却剂时机床工件容易生銹，为了保護起見常在水中加入少許苏打，做成苏打水溶剂。

所謂乳化油就是把肥皂和有机酸溶在礦物油中，成膠狀溶液然后和水混合起来。乳化油

冷却和潤滑的作用都很好。

屬於第二类的潤滑冷却剂有：植物油、礦物油、动植物油及混合油等，这种液体比热小，流动性差，因此冷却刀具的作用不大，但潤滑性好，故能提高表面光潔度，因此一般用于精加工。

实际应用上最好在以上二类潤滑冷却剂中加入化学活动剂（硫磺等），做成硫化乳化油及硫化切削油，以提高潤滑作用。圖17表示潤滑冷却剂的使用方法。

十、刀具的磨损与刀具寿命

在切削过程中，刀具是要磨损的（变钝）。

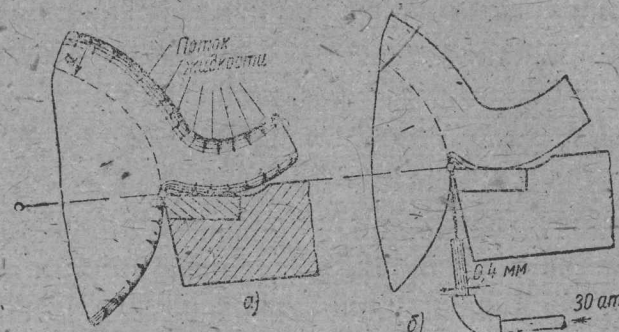
刀具的磨损不僅是因为机械的磨耗，如刀刃变圆碎裂等，并且因为受热而降低它的硬度。在切削速度小的时候，热量產生得不大刀具磨损得相当慢而均匀；在切削速度高的时候產生大量的热，刀具磨损得较快，并且由于磨损程度的增加最后刀刃崩裂而終止工作。不要在切削刃完全磨损以后才去磨刀，否则在磨刀时就要磨去較多的金屬。

刀具磨钝时，碳素鋼（包括高速鋼）表現在刀刃的磨圓上，随着切削功率也急剧提高；硬質合金刀具表現在切削刃破裂和在已加工面上出現光亮的帶狀表面。

刀刃的磨损發生在前面和后面，而刀具的磨损限度是以后面的磨损量 h_z 为标准的（圖18），刀具磨损到 h_z 值后即進行磨刀。 h_z 值是和刀具材料及工作情况有关的。用高速鋼刀具，使用潤滑冷却剂，对可鍛鑄鐵、鑄鋼、鋼材等進行車外圓、切槽、擴孔等工作時 $h_z = 1.5\sim 2$ 公厘，在不用潤滑冷却剂進行工作時 $h_z = 0.3\sim 0.5$ 公厘。对鑄鐵粗加工時 $h_z = 3\sim 4$ 公厘，精加工時 $h_z = 1.5\sim 2$ 公厘。对于硬質合金刀具，允許的磨损量較小，如車鋼時，由于送進量不同， $h_z = 0.4\sim 1$ 公厘，車鑄鐵時由于送進量不同， $h_z = 0.8\sim 1.7$ 公厘。

刀具寿命——二次刃磨之間的刀具延續切削时间。用 T 表示。

刀具寿命是在决定了磨损限度以后而產生的定义。因为只有先决定了磨损限度，才能在一定切削条件下，确定刀具寿命。但必須注意磨损限度决定后，刀具寿命的具体数值并未确定，可根据具体情况來選擇。刀具寿命与許多因素有关，如刀具材料，工件材料，進刀量……等，但对刀具寿命影响最大的却是切削速度，不同的



a) 噴在切屑上 b) 用高壓力噴到切削区中

圖17 表示潤滑冷却剂的使用方法。

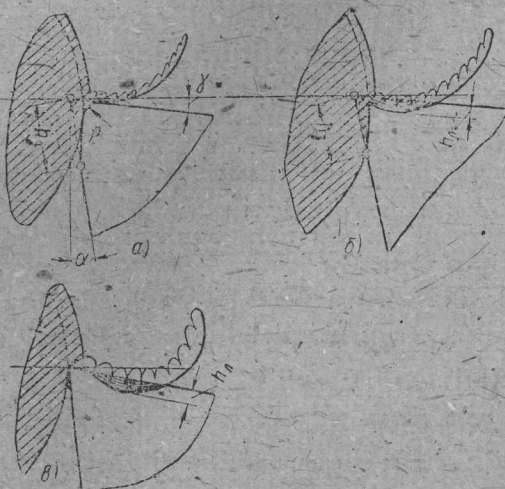


圖18 磨損的基本型式

切削速度得到不同的刀具寿命。

根据研究結果，切削速度与刀具寿命的关系如下：

V一切削速度（公尺/分）

C一与加工材料，切深、走刀量、刀具材料，刀具几何形状等有关的常数。

$$V = \frac{C}{T^m}$$

T—刀具寿命（分）

m—有关刀具寿命的指数，在0.1—0.9之間因加工材料，切深，走刀量……等因素而改变。切削速度略有变化时刀具寿命变动很大。如V=30时 T=40, V=25时 T=150。

刀具寿命不能任意选取，应由最經濟条件出發，刀具寿命选得太長时切速很低机械加工的时间就会拖得很長。刀具寿命选得太短时，切速虽高但刀具需要經常更換和刃磨，也要影响生產率并使磨刀費用及刀具消耗增加。一定的切削条件都有最經濟的刀具寿命数值。一般高速鋼車刀T=60分，硬質合金車刀T=90分。刀具愈複雜，刀具寿命就愈高，銑刀的寿命就比車刀高得多。

根据最經濟的刀具寿命数值决定切削速度。

在許多切削加工的手冊中根据加工材料、刀具材料、t、S、T……等可直接查出V的数值。

§3. 刀具几何参数的合理选择

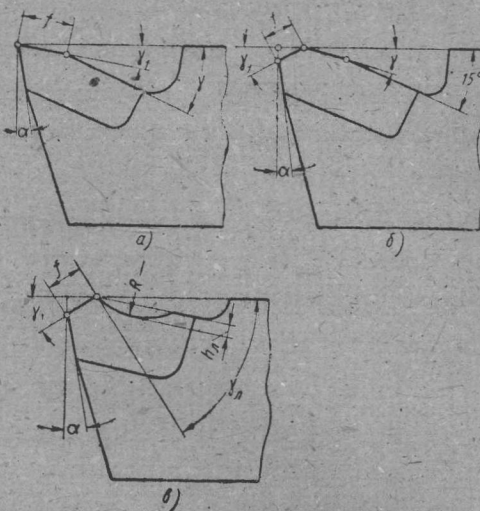


圖19 切刀前面的形状

2. 平面型——前面是一个平面，它的优點是刃磨簡單，缺點是加工軟韌材料时不能卷屑。加工硬脆材料（如鑄鐵）时採用（圖19a, b）。

第二种分法①帶到稜的前面②不帶到稜的前面。

帶到稜的前面：

倒稜的寬度等于(0.8—2) S，角度（与基面）为 0° — 15° 此时切屑仍沿前面流出，故不改变刀具原來的前角数值。它的主要作用是加强刀刃强度。一般在粗加工时採用。

二、前角的选择

前角的合理选择首先根据加工材料的性質，其次是刀具材料，最后是其他的加工情况。

一、前面形狀的种类和选择原則

第一种分法：①曲面型②平面型

1. 曲面型——前面是一个圓弧面，它的作用是使切屑滑过前面时卷曲成卷。加工軟韌材料时（如鋼）必須使切屑打卷，否則產生帶狀的切屑，对操作者說來很容易發生危險。

在高速鋼刀具上容易把前面磨成曲面，硬質合金刀具就困难得多，在电磨刀法出現后，这个問題已經解决了。

曲面的圓弧半徑为2—5公厘，寬为2—3公厘。（圖19b）

前角加大时，可以减小切削时切屑的变形，因而减低了切削力和摩擦力，动力消耗也因之减小，但前角加大时刀刃变弱传热不易，刀具寿命因此下降。所以前角的数值不能太小也不能太大。

切削塑性材料时，切屑沿前面流动，切屑与前面间有很大的压力和摩擦力，切屑本身的变形也较大。因此为了减少切屑变形和刀具磨损，应取较大的前角。切削脆性材料时得出的是碎断式切屑，变形不大，并不沿前面流动，取大的前角，变形并不能减少得很多，反而使刀刃变弱。因此为了保护刀刃起见在切削脆性材料时所用的前角比切削塑性材料时应小一些。

其次，在选择前角时必须考虑的一个次要因素就是刀具材料：高速钢、合金工具钢，碳素工具钢等刀具材料的抗弯强度和抗压强度差不多，因此，用这些材料制造的刀具可以用较大的前角。这时刀具受到切削力后内部产生弯曲应力。硬质合金和陶瓷的抗弯能力比前几种刀具材料小3—8倍。因此不能用大的前角。但它们的抗压强度却小不了多少，因此

切削时应采用较小的前角。当加工材料强度很大时应采用负前角，这样刀具完全承受压缩应力。

除了加工材料和刀具材料外，选择前角时还应当考虑加工情况，精加工时前角较小；粗加工时，前角较大：机床工件和刀具等刚度不够时容易产生震动，这时前角应取小些，以保护刀刃及刀尖。

三、后角的选择

后角的主要功用为减少刀具与工件间的摩擦。

后角数值应按切削厚度 a 来选择， a 愈小，后角愈大，其数值由 4° — 30° 不等，一般常用的是 8° — 12° 但后角不能取得太大，后角太大时刀刃变弱，散热不易，寿命会下降。

四、主偏角 φ 的选择

φ 角愈小，则刀具寿命愈高，原因是刀尖的强度增加了，刀刃与工件的接触长度（即切削宽度 b ）也增加，因此热分布及传导情况改善。

φ 小时， P_y 增大，此时工件受力增大，可能为弯曲过度而影响精确度，也可能引起振动，因此 φ 角不能太小。

因此选择 φ 角的原则如下：在机床工件夹具刚度所允许的范围内 φ 角取得愈小愈好。

一般常用的 φ 角在 30° — 75° 之间， 45° 用得最多。切削细长工件时 φ 角可以取 90° 。

五、付偏角 φ_1 的选择

付偏角 φ_1 的功用主要是减少付刀刃和工件已加工表面间的摩擦，同时它的大小也影响工件表面光洁度与刀具寿命。

付偏角 φ_1 愈小则刀尖角增大，刀尖传热较好，刀具寿命增加，但 φ_1 太小时付后面与工件摩擦增加，寿命反而会降低。 φ_1 角以 5° — 10° 为最好。 φ_1 愈小时光洁度愈好，硬质合金车刀性脆怕振，与 φ 角一样， φ_1 愈小时 P_y 愈大，容易引起振动，故取较大的 φ_1 角 (30° — 45°)。

六、付后角 a_1 的选择

付后角用来减少付后面与已加工表面间的摩擦的，一般 8° — 10°

七、刃倾角 λ 的选择

刃倾角 λ 的作用：

- ① 控制切屑流出的方向。

(2) 增加刀刃的强度。

(3) 使切削刃最初切入工件时，逐渐切入。

λ 不同时切屑流出方向不同，精加工时为了不使切屑碰伤已加工表面故取负 λ 角；粗加工时为了增加刀刃故取正 λ 角。实验证明：车刀 λ 角由 -6° 增加至 $+3^\circ$ 时，刀具寿命可提高一些，但太大时寿命也会下降。

切削不連續表面时，因为有冲击， λ 角取大些。

硬质合金车刀怕冲击 λ 角较高速钢大些。

八、刀尖圆角半径r

有了圆角半径 r 刀具寿命可以提高，并且可以得出较好的表面光洁度。对寿命和光洁度来说圆角半径 r 愈大愈好，但 r 愈大时 P_y 愈大，因此 r 的大小应有一定限度，硬质合金刀怕振动 P_y 不能大， r 应更小些。

高速钢车刀 $r=0.5-5$ 公厘

硬质合金车刀 $r=0.5-2$ 公厘

精车时取大值，粗车时取小值。

九、车刀举例

下面介绍苏联斯达哈诺夫工作者科列索夫的车刀。科列索夫车刀的特点是以反切削的形式进行车削，图20是正反切削示意图。正切削时 $t > s$, $\Phi_1 > 0$ 。反切削时则 $t = a - b = s$, $\varphi_1 = 0$ 。

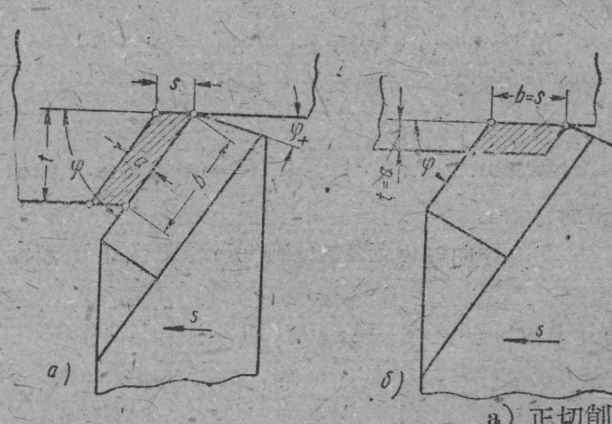


圖20 正反切削示意图B) 反切削

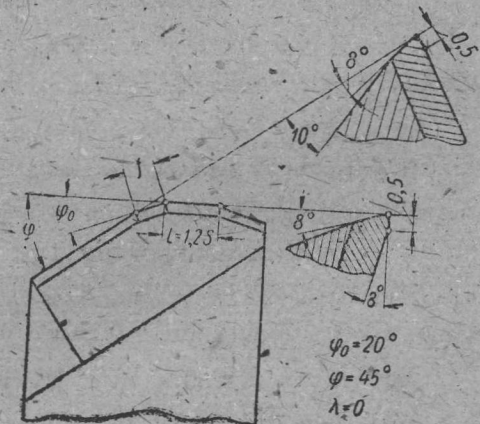


圖21 正科列索夫車刀

科列索夫车刀的主要特点是具有三个切削刃， $\varphi = 45^\circ$ $\varphi_0 = 20^\circ$ 及 $\varphi_1 = 0^\circ$ 的切削刃。 $\varphi_1 = 0^\circ$ 的切削刃和工条中心线平行，其长度 $l = 1.25s$ 。在这样的车刀几何形态下能将过去精加工时的走刀量由 $0.25-0.65$ 公厘/转提高到 5 公厘/转以上，还能得到W5-W6的表面光洁度，为了提高刀刃强度在 $\varphi = 45^\circ$ 及 $\varphi_0 = 0^\circ$ 的切削刃上磨出倒稜。使用科列索夫车刀车削时机床——刀具——工件需要有较好的刚度（图21）。

54. 切削用量的选择

切削用量的选择就是在不同加工条件下决定最合理的吃刀深度 t ，走力量 S ，切削速度 V 。

要使切削加工时间最短，可以增大 t ， S ，和 V 但它们的增大受到刀具寿命的限制。 t ， S ， V 三者之间是存在着内在的联系，在一定刀具寿命的条件下增大其中一个就必须减小其余一